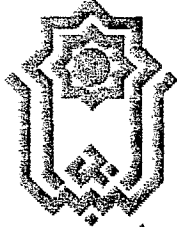




١٥١٤٩٨



دانشکده پژوهی
دانشکده شیمی

دانشکده شیمی

پایان نامه

برای دریافت درجه کارشناسی ارشد
در رشته شیمی (گرایش تجزیه)

عنوان:

اندازه‌گیری مقادیر کم مولیبدن (VI) و قلع (IV) پس از
پیش تغییظ به روش استخراج نقطه ابزی

استاد راهنمای

دکتر طیبه مدرکیان

استاد مشاور

پروفسور عباس افخمی

پژوهشگر

فریبا قاضی زاده

اسفند ۸۶

همه امتیازهای این پایان‌نامه به دانشگاه بوعلی‌سینا تعلق دارد. در صورت استفاده از تمام یا بخشی از مطالب این پایان‌نامه در مجلات، کنفرانس‌ها و یا سخنرانی‌ها، باید نام دانشگاه بوعلی‌سینا یا استاد راهنمای پایان‌نامه و نام دانشجو با ذکر مأخذ و ضمن کسب مجوز کتبی از دفتر تحصیلات تكمیلی دانشگاه ثبت شود. در غیر این صورت مورد پیگرد قانونی قرار خواهد گرفت.



دانشگاه پویا شینا

دانشکده شیمی

پایان نامه کارشناسی ارشد

شیمی تجزیه

عنوان:

اندازه‌گیری مقادیر کم مولبیدن (IV) و قلع (VI) پس از پیش تغییظ به روش استخراج نقطه ابری

استاد راهنما

دکتر طیبه مدرکیان

استاد مشاور

پروفسور عباس افخمی

پژوهشگر

فریبا قاضی زاده

۱۵/۱۱/۱۴۳۸

کمیته ارزیابی پایان نامه:

۱- استاد راهنما: دکتر طیبه مدرکیان (رئیس کمیته)

۲- استاد مشاور: پروفسور عباس افخمی

۳- استاد مدعو: پروفسور داود نعمت‌اللهی

۴- استاد مدعو: پروفسور حسین ایلوخانی

۵- استاد مدعو: دکتر مهدی هاشمی



دانشگاه بوعلی سینا

دانشکده شیمی

جلسه دفاع از پایان نامه کارشناسی ارشد

فریبا قاضی زاده در رشته شیمی (گرایش تجزیه)

با عنوان:

اندازه گیری مقادیر کم مولیبدن (VI) و قلع (IV) پس از پیش تغليظ به روش استخراج نقطه ابری

به ارزش ۸ واحد در روز سه شنبه ۱۴/۱۲/۱۳۸۶ ساعت ۱۰ صبح در سالن

آمفی تئاتر ۲ دانشکده شیمی و با حضور اعضای هیأت داوران زیر برگزار گردید و
با نمره ۱۹۹۸ و درجه عالی به تصویب رسید.

کمیته ارزیابی پایان نامه:

۱- استاد راهنما: دکتر طیبه مدرکیان (رئیس کمیته)

۲- استاد مشاور: پروفسور عباس افخمی

۳- استاد مدعو: پروفسور داود نعمت‌اللهی

۴- استاد مدعو: پروفسور حسین ایلوخانی

۵- استاد مدعو: دکتر مهدی هاشمی

خدایا ...

مارابه خویش خوان در همیداونهان و از روشنای ذکرت برمای

بستان، در صح و شامگاهان.

واز زلال خاطره ات مارابو شان، در آشکار و پنهان.

ونیم یادت را بردهای ما بوزان، در بهار و خزان.

تعدیم به پدرم

بزرگ استاد زنده‌یم، آنکه به من در چونه زیستن آموخت. تکیه کاهی محکم، استوار روح
بلندی که هماره را همایی‌های حکیمانه اش زنگی را براهم پر معنا و موقیت، را دست یاقتنی
نمی‌سازد.

تعدیم به مادرم

که از سیاهی مهربانش هماره آفتاب امید طلوع می‌کند و موقیت خود را مریون محبت‌های
بی دین و حیات‌های بی تکلف او می‌دانم، وجودی که زنگی باحضور او زیبا و خواستنی است.

تعدیم به خواهر و برادر عزیزم

فهمیمه و علی رضا

که مشوق و پشتیان من بوده و هستند و دلشاد از شادیشان و دلکرم از دیدار وجودشان، هستم.

پروردگاری:

به پیشگاه پاک و مقدس تقدیم می دارم، که بنگری فقط و فقط تو را سفر، آنچه داده ای، بیشتر از شایستگی من است، کرچه در خور بخشیدگی تو است.
از پر و مادر عزیزم به خاطر تمام محبت های بی دینشان سپاسگزارم، هر آنچه که در زندگی دارم حاصل تلاش و همربی پایان این دو عزیزترین است و
از همراهان همیشگی بخطه های شادی و آندهم خواه و برادر عزیزم سپاسگزارم.

از استاد ارہمنای بزرگوارم، سرکار خانم دکتر مدیرکیان به خاطر تمام محبت های راهنمایی های ارزشمند و سعد صدر شان وزجات فراوانی که برای من کشیدند
و به خاطر هر آنچه که از ایشان یاد گرفتم مینهایت سپاسگزارم.

از استاد مشاور بزرگوارم، جناب آقای پروفور فخری به خاطر راهنمایی های او محبت هایشان سپاسگزارم.

از استاد عزیزم، جناب آقای پروفور نعمت اللهی به خاطر تمام زحمت هایشان چه در مقام استادی و چه در داوری در مورد پایان نامه ام شکرم.
از استاد گرانقدر، جناب آقای دکتر راشمی به خاطر تمام زحمت های او داوری پایان نامه ام ممنونم. از جناب آقای پروفور ایلوخانی که زحمت
داوری این پایان نامه را برعهد داشته، شکرم می نایم. از سرکار خانم دکتر حسنی به خاطر زحمت هایشان در مقام استادی سپاسگزارم. از سرکار
خانم دکتر کرمانپور مسؤول محترم تحصیلات تکمیلی که در جلسه حضور یافتند، سپاسگزارم.

از خانواده محترم خانم حاجی هادی مینهایت ممنونم. سلامتی ایشان و خانواده محترم شان را از خداوند بزرگ خواستارم.

وبالپاس از: خانم دکتر خلفی، عباسی، محمدزاده، بزرگ زاده، کریمی و آقایان دکتر هاری، دکتر رفیعی، نوروزی، محمدباغی، خواجهی، بیات، مکی
و شیان.

خانم دادگستری، ابوالقاسمی، میرزا حاجی نادی، میوش روحاوی، رویا اسماعیلی، فیض ورمهانی، فرشته امامی، شلیمانی، زهرا نظری، کرباسی، امامی،
دشتستان، معین، موسوی، فرجی، بسیور، قلی زاده، امیدی، احمدی، ولی پور، نادر پور، حیدری، جعیتی، محمدی بزرگ، سلطانی، زارع، ضرغامی،
فرجی مقدم، اسدیگی، ایزدخواه، محمدی و سعادتی. آقایان سیری، آل سید، دیانورده، حسینی، عبدالملکی، احاجی، قربانی، خوش سفرو موسوی.

نام خانوادگی: قاضی زاده	نام: فریبا
عنوان پایان نامه: اندازه گیری مقادیر کم مولیبدن (VI) و قلع (IV) پس از پیش تغليظ به روش استخراج نقطه ابری	عنوان پایان نامه: اندازه گیری مقادیر کم مولیبدن (VI) و قلع (IV) پس از پیش تغليظ به روش استخراج
استاد مشاور: دکتر طبیبه مدر کیان	استاد راهنمای: دکتر طبیبه مدر کیان
مقطع تحصیلی: کارشناسی ارشد	گرایش: تجزیه شیمی
دانشگاه: بوعالی سینا همدان	تعداد صفحه: ۸۱
تاریخ دفاع: ۸۶/۱۲/۱۴	
واژه های کلیدی: استخراج نقطه ابری، پیش تغليظ، مولیبدن (VI)، برموبیرو گالول رد (BPR)، قلع (IV)، پیروکتکول وایولت (PCV)، اسپکتروفوتومتری	
چکیده	
<p>فرایند استخراج نقطه ابری با بکارگیری مایسل سورفتانت کاتیونی CTAB برای استخراج Mo(VI) از محلول های آبی بررسی شد. روش بر اساس واکنش رنگی مولیبدن با برموبیرو گالول رد در حضور پتاسیم یدید در محیط بافری با $1/۰$ pH گلایسین/HCl و استخراج محیط مایسلی کمپلکس بود. شرایط بهینه استخراج و واکنش (برای مثال، غلظت سورفتانت، غلظت واکنشگر و تاثیر زمان) مطالعه شدند و شاخص های تجزیه ای روش (برای مثال، حد تشخیص، گستره خطی، فاکتورهای پیش تغليظ و بهبود) بدست آورده شدند. خطی بودن در گستره $۰/۱$ ng mL^{-۱} از یون مولیبدن (VI)، بدست آورده شد و حد تشخیص روش $۰/۳-۳۲۰/۰$ ng mL^{-۱} بود. به ترتیب انحراف استاندارد نسبی (R.S.D) و خطای نسبی برای ۵ بار اندازه گیری $۶۵/۰$ از $۱/۹$٪ و $۱/۱$٪ بودند. همچنین تاثیر مزاحمت برخی آنیون ها و کاتیون ها آزمایش شد. روش برای اندازه گیری مولیبدن (VI) در آلیازها و آب شیر و آب چاه و فرآورده های لبنیاتی بکار برده شد.</p> <p>همچنین، مقادیر بسیار کم از قلع (IV) بعد از تشکیل کمپلکس با پیروکتکول وایولت (PCV) و CTAB در بافر گلایسین/HCl = $۳/۰$ در حضور یدید پتاسیم و پس از روش استخراج نقطه ابری، با استفاده از روش اسپکتروفوتومتری اندازه گیری شد. فاکتورهای موثر بر تشکیل کمپلکس و استخراج به منظور بدست آوردن شرایط بهینه، مطالعه شد. گستره خطی کالیبراسیون و حد تشخیص روش پیشنهادی، به ترتیب، $۰/۳۰$-$۱۷۵/۰۰$ ng mL^{-۱} بود. از این روش برای اندازه گیری قلع در مواد غذایی کنسرو شده، جگر و نمونه های آب استفاده شد. همچنین تاثیر مزاحمت آنیون ها و کاتیون های مختلف بر اندازه گیری Sn(IV) آزمایش شد.</p>	

فهرست

فهرست مطالب

صفحه

عنوان

.....	مقدمه
فصل اول: مقدمه و مروری بر کارهای انجام شده	
۲	۱ - مقدمه
۳	۱ - ۲ - استخراج محیط مایسلی: تئوری و مفاهیم
۳	۱ - ۲ - ۱ - سورفتانت ها و تشکیل مایسل
۶	۱ - ۲ - ۲ - استخراج نقطه ابری
۷	۱ - ۲ - ۳ - پارامترهای موثر بر استخراج نقطه ابری
۹	۱ - ۳ - مزایای روش استخراج با نقطه ابری
۹	۱ - ۴ - مولیبden
۹	۱ - ۴ - ۱ - شیمی مولیبden
۱۰	۱ - ۴ - ۲ - مروری بر کارهای انجام شده
۱۴	۱ - ۵ - قلع
۱۴	۱ - ۵ - ۱ - شیمی قلع
۱۴	۱ - ۵ - ۲ - کاربردها و مصارف قلع
۱۵	۱ - ۵ - ۳ - مروری بر کارهای انجام شده
فصل دوم: تهیه محلول‌ها، مواد و وسایل مورد نیاز و آماده‌سازی نمونه‌های حقیقی	
۲۰	۲ - ۱ - مواد شیمیایی
۲۲	۲ - ۲ - دستگاههای مورد استفاده
۲۲	۲ - ۳ - تهیه محلول‌های مادر

فهرست مطالب

صفحه

عنوان

۲۴	۲ - ۴ - آماده‌سازی نمونه‌های حقیقی
۲۴	۲ - ۴ - ۱ - نمونه آلیاژ استاندارد
۲۵	۲ - ۴ - ۲ - نمونه فرآورده‌های لبنیاتی
۲۵	۲ - ۴ - ۱ - ۲ - نمونه شیر و شیر کاکائو
۲۵	۲ - ۴ - ۲ - نمونه ماست
۲۶	۲ - ۴ - ۳ - نمونه آب میوه
۲۶	۲ - ۴ - ۴ - نمونه جگر

فصل سوم: اندازه‌گیری مولیبدن (VI) و قلع (IV) پس از پیش تغليظ به روش استخراج نقطه

ابری

۲۸	۱ - ۳ - مقدمه
۲۹	۳ - ۲ - اندازه‌گیری مقادیر بسیار کم مولیبدن Mo(VI) بعد از استخراج نقطه ابری توسط سورفتانت
۲۹	۳ - ۲ - یونی CTAB
۲۹	۳ - ۲ - ۱ - روش کار
۲۹	۳ - ۲ - ۱ - ۱ - محیط آبی
۳۰	۳ - ۲ - ۱ - ۲ - استخراج توسط نقطه ابری
۳۱	۳ - ۲ - ۲ - بحث و نتیجه گیری
۳۱	۳ - ۲ - ۱ - ۲ - مطالعات طیفی
۳۱	۳ - ۲ - ۲ - بررسی واکنش و نحوه استخراج کمپلکس
۳۲	۳ - ۲ - ۳ - بررسی اثر متغیرها و بهینه سازی شرایط آزمایش
۳۲	۳ - ۲ - ۱ - اثر pH

فهرست مطالب

عنوان		صفحه
۲ - ۳ - ۲ - ۳ - اثر غلظت برموپیروگالول رد (BPR)	۳۳	
۲ - ۳ - ۳ - اثر غلظت CTAB	۳۴	
۲ - ۳ - ۴ - انتخاب نمک معدنی	۳۶	
۲ - ۳ - ۵ - اثر غلظت KI	۳۶	
۲ - ۳ - ۶ - اثر زمان بر تشکیل کمپلکس و وسانتریفیوژ	۳۷	
۲ - ۳ - ۷ - انتخاب حلال مناسب برای فاز غنی از سورفتانات	۳۷	
۲ - ۳ - ۴ - مشخصات تجزیه‌ای	۳۹	
۲ - ۳ - ۱ - منجني کالibrاسيون	۳۹	
۲ - ۴ - ۲ - حد تشخیص	۴۰	
۲ - ۴ - ۳ - صحت و دقت روش پیشنهادی	۴۱	
۲ - ۴ - ۴ - فاکتور پیش تغییض و فاکتور بهبود	۴۳	
۲ - ۵ - ۲ - بررسی اثر مزاحمت ها	۴۵	
۲ - ۶ - ۲ - کاربرد روش در تجزیه نمونه های حقیقی	۴۶	
۲ - ۶ - ۱ - کاربرد در نمونه های آب	۴۶	
۲ - ۶ - ۲ - اندازه گیری مولیبدن در یک نمونه آلیاژ استاندارد	۴۷	
۲ - ۶ - ۳ - اندازه گیری مولیبدن در نمونه فرآورده های لبنياتي	۴۷	
۲ - ۶ - ۳ - ۱ - نمونه شیر	۴۷	
۲ - ۳ - ۶ - ۲ - ۳ - نمونه شیر کاكائو	۴۸	
۲ - ۳ - ۶ - ۲ - ۳ - نمونه ماست	۴۹	
۲ - ۳ - ۷ - نتیجه گیری	۵۱	

فهرست مطالب

صفحه

عنوان

۳ - ۳ - ۳ - اندازه‌گیری مقادیر بسیار کم Sn(IV) بعد از استخراج نقطه ابری توسط سورفکتانت	۵۲	CTAB یونی
۳ - ۳ - ۱ - روش کار	۵۲	
۳ - ۳ - ۱ - ۱ - محیط آبی	۵۲	
۳ - ۳ - ۱ - ۲ - استخراج توسط نقطه ابری	۵۳	
۳ - ۳ - ۲ - بحث و نتیجه‌گیری	۵۴	
۳ - ۳ - ۲ - ۱ - مطالعات طیفی	۵۴	
۳ - ۳ - ۲ - ۲ - بررسی واکنش انجام گرفته	۵۴	
۳ - ۳ - ۲ - ۳ - نحوه استخراج کمچلکس	۵۵	
۳ - ۳ - ۳ - بررسی اثر متغیرها و بهینه سازی شرایط آزمایش	۵۶	
۳ - ۳ - ۳ - ۱ - pH - اثر	۵۶	
۳ - ۳ - ۳ - ۲ - اثر غلظت پیروکتکول وایولت (PCV)	۵۶	
۳ - ۳ - ۳ - ۳ - ۱ - اثر غلظت CTAB	۵۸	
۳ - ۳ - ۳ - ۴ - نمک معدنی	۵۹	
۳ - ۳ - ۳ - ۵ - اثر غلظت KI	۵۹	
۳ - ۳ - ۳ - ۶ - اثر زمان بر واکنش و وسانتریفیوژ	۶۱	
۳ - ۳ - ۳ - ۷ - انتخاب حلال مناسب برای فاز غنی از سورفکتانت	۶۱	
۳ - ۳ - ۴ - مشخصات تجزیه‌ای	۶۲	
۳ - ۳ - ۴ - ۱ - منحنی کالیبراسیون	۶۲	

فهرست مطالب

صفحه

عنوان

۶۳	۲ - ۴ - ۳ - ۳ - ۲ - حد تشخیص
۶۳	۳ - ۴ - ۳ - ۳ - ۴ - صحت و دقت روش پیشنهادی
۶۴	۳ - ۴ - ۴ - ۴ - فاکتور پیش تغییض و فاکتور بهبود
۶۶	۳ - ۳ - ۵ - بررسی اثر مزاحمت ها
۶۷	۳ - ۳ - ۶ - کاربرد روش در تجزیه نمونه های حقیقی
۶۷	۳ - ۳ - ۶ - ۱ - نمونه آب میوه
۶۸	۳ - ۳ - ۶ - ۲ - نمونه های آب
۶۹	۳ - ۳ - ۶ - ۳ - ۳ - نمونه جگر گوسفند
۷۰	۳ - ۳ - ۷ - نتیجه گیری
۷۲	منابع

فهرست شکل‌ها

صفحه

عنوان

- ۲۰ شکل(۱-۲): ساختار شیمیایی واکنشگر BPR
- ۲۱ شکل(۲-۲): ساختار شیمیایی PCV
- شکل(۳-۱): طیف جذبی محلول شاهد (a)، کمپلکس مولیبدن (VI) با برموپیروگالول رد و CTAB (b) در محیط آبی. شرایط: $10^{-5} \text{ mol L}^{-1}$ مولیبدن (VI)، $10^{-5} \text{ mol L}^{-1}$ CTAB، BPR با غلظت $10^{-4} \text{ mol L}^{-1}$ از بافر گلایسین / HCl (pH=۱/۰±۰/۲) ۳ mL از $3/0 \times 10^{-4} \text{ mol L}^{-1}$ گلایسین
- شکل(۳-۲): طیف جذبی محلول شاهد (a)، کمپلکس مولیبدن (VI) با برموپیروگالول رد در محیط مايسلى CTAB بعد از استخراج نقطه ابری (b). شرایط: $10^{-5} \text{ mol L}^{-1}$ مولیبدن (VI)، BPR با غلظت $10^{-4} \text{ mol L}^{-1}$ CTAB، KI با غلظت $10^{-3} \text{ mol L}^{-1}$ ، $3/0 \times 10^{-4} \text{ mol L}^{-1}$ DMF و با استفاده از حلال pH=۱/۰±۰/۲ HCl (pH=۱/۰±۰/۲) و با استفاده از حلal باfer گلایسین
- شکل(۳-۳): رسم منحنی تغییرات جذب در pH های مختلف. شرایط: $10^{-5} \text{ mol L}^{-1}$ مولیبدن (VI)
- ۳۳ CTAB، BPR از $1/2 \times 10^{-4} \text{ mol L}^{-1}$ و $10^{-5} \text{ mol L}^{-1}$ از $10^{-4} \text{ mol L}^{-1}$
- شکل(۳-۴): منحنی تغییرات جذب در غلظت های مختلف BPR. نمودار شاهد (◆)، نمونه (■) و اختلاف آنها (▲). شرایط: $10^{-4} \text{ mol L}^{-1}$ مولیبدن (VI)، CTAB، KI با غلظت $10^{-2} \text{ mol L}^{-1}$ از $3/0 \times 10^{-4} \text{ mol L}^{-1}$ و باfer گلایسین / HCl در pH=۱/۰±۰/۲
- شکل(۳-۵): منحنی تغییرات جذب در غلظت های مختلف CTAB. نمودار شاهد (◆)، نمونه (■) و اختلاف آنها (▲). شرایط: $10^{-5} \text{ mol L}^{-1}$ مولیبدن (VI)، CTAB، KI با غلظت $10^{-2} \text{ mol L}^{-1}$ از $1/0 \times 10^{-4} \text{ mol L}^{-1}$ و باfer گلایسین / HCl در pH=۱/۰±۰/۲
- شکل(۳-۶): منحنی تغییرات جذب در غلظت های مختلف KI. نمودار شاهد (◆)، نمونه (■) و اختلاف آنها (▲). شرایط: مولیبدن $10^{-5} \text{ mol L}^{-1}$ ، $10^{-4} \text{ mol L}^{-1}$ BPR، $10^{-5} \text{ mol L}^{-1}$ CTAB و باfer گلایسین / HCl در pH=۱/۰±۰/۲

فهرست شکل‌ها

عنوان

صفحه

- شكل(۳-۷): منحنی تغییرات جذب در مقابل طول موج در حلال های DMF (a)، استونیتیریل (b)، CTAB، BPR، $\text{BPR} \cdot 2\mu\text{g mL}^{-1}$ مولیبدن (VI)، DMSO (c) و DMSO (d). شرایط: $10 \times 10^{-4} \text{ mol L}^{-1}$ آتانول (c) و $10 \times 10^{-4} \text{ mol L}^{-1}$ مولیبدن (VI) در $10 \pm 0.2 \text{ mol L}^{-1}$ pH=۱/۰ $\times 10^{-3}$ mol L⁻¹ KI و بافر گلایسین/HCl در $10 \pm 0.2 \text{ mol L}^{-1}$ pH=۱/۰ $\times 10^{-4}$ mol L⁻¹ (d).
- شكل(۳-۸): منحنی کالیبراسیون پس از پیش تغليظ توسط استخراج با نقطه ابری ($n = 16$). شرایط: BPR با غلظت $10 \times 10^{-2} \text{ mol L}^{-1}$ و $10 \times 10^{-4} \text{ mol L}^{-1}$ CTAB و $10 \times 10^{-5} \text{ mol L}^{-1}$ KI و بافر گلایسین/HCl در $10 \pm 0.2 \text{ mol L}^{-1}$ pH=۱/۰ $\times 10^{-3}$ mol L⁻¹ (n=39).
- شكل(۳-۹): منحنی افزایش استاندارد برای نمونه شیر پس از پیش تغليظ با روش استخراج نقطه ابری. شرایط: غلظت $10 \times 10^{-4} \text{ mol L}^{-1}$ BPR و $10 \times 10^{-2} \text{ mol L}^{-1}$ CTAB از $10 \times 10^{-5} \text{ mol L}^{-1}$ KI و $10 \times 10^{-4} \text{ mol L}^{-1}$ آسکوربیک اسید و بافر گلایسین/HCl در $10 \pm 0.2 \text{ mol L}^{-1}$ pH=۱/۰ $\times 10^{-4}$ mol L⁻¹ (n=48).
- شكل(۳-۱۰): منحنی افزایش استاندارد برای نمونه شیر کاکائو پس از پیش تغليظ با روش استخراج نقطه ابری. شرایط: غلظت $10 \times 10^{-5} \text{ mol L}^{-1}$ BPR و $10 \times 10^{-2} \text{ mol L}^{-1}$ CTAB از $10 \times 10^{-4} \text{ mol L}^{-1}$ KI با غلظت $10 \times 10^{-2} \text{ mol L}^{-1}$ آسکوربیک اسید و بافر گلایسین/HCl در $10 \pm 0.2 \text{ mol L}^{-1}$ pH=۱/۰ $\times 10^{-3}$ mol L⁻¹ (n=49).
- شكل (۱۱-۳): منحنی افزایش استاندارد برای نمونه ماست پس از پیش تغليظ با روش استخراج نقطه ابری. شرایط: غلظت $10 \times 10^{-5} \text{ mol L}^{-1}$ BPR و $10 \times 10^{-2} \text{ mol L}^{-1}$ CTAB از $10 \times 10^{-4} \text{ mol L}^{-1}$ KI و آسکوربیک اسید $10 \times 10^{-4} \text{ mol L}^{-1}$ و بافر گلایسین/HCl در $10 \pm 0.2 \text{ mol L}^{-1}$ pH=۱/۰ $\times 10^{-4}$ mol L⁻¹ (n=50).
- شكل (۱۲-۳): طیف جذبی محلول شاهد (a)، کمپلکس قلع (IV) با پیروکتکول وایولت و CTAB (b)، در محیط آبی. شرایط: $10 \times 10^{-5} \text{ mol L}^{-1}$ CTAB، $10 \times 10^{-4} \text{ mol L}^{-1}$ قلع (IV)، $10 \times 10^{-4} \text{ mol L}^{-1}$ PCV با غلظت $10 \times 10^{-4} \text{ mol L}^{-1}$ (pH=۳/۰) HCl در 2 mL از بافر گلایسین/HCl (n=52).

فهرست شکل‌ها

عنوان

صفحه

- شكل (۳-۱۳): طیف جذبی محلول شاهد (a)، کمپلکس قلع (IV) با پیروکتکول وایولت پس از پیش تغییض به روش استخراج نقطه ابری (b). شرایط: $1\text{ }\mu\text{g mL}^{-1}$ قلع (IV)، $10^{-5}\text{ mol L}^{-1}$ PCV از $7/7\times 10^{-4}\text{ mol L}^{-1}$ CTAB، 2 mL از $10^{-2}\text{ mol L}^{-1}$ KI، 2 mL از بافر گلایسین / HCl (pH=۳/۰) و با استفاده از حلal DMF ۵۲
- شكل (۳-۱۴): مقایسه طیف جذبی غلظت $1\text{ }\mu\text{g mL}^{-1}$ از قلع (IV) در محیط آبی و پس از استخراج با روش نقطه ابری. (a) شاهد، (b) نمونه در محیط آبی، (c) شاهد و (d) نمونه پس از پیش تغییض با روش استخراج نقطه ابری ۵۴
- شكل (۳-۱۵): بررسی اثر pH بر تشکیل کمپلکس و استخراج قلع (IV). طیف جذبی محلول شاهد (a) در $3-\text{pH}=1$ و کمپلکس قلع (IV) با پیروکتکول وایولت پس از پیش تغییض به روش استخراج نقطه ابری در (b)، (c) در $\text{pH}=2$ و (d) در $\text{pH}=3$. شرایط: $1\text{ }\mu\text{g mL}^{-1}$ قلع (IV)، PCV با غلظت $10^{-4}\text{ mol L}^{-1}$ CTAB، $2/0\times 10^{-2}\text{ mol L}^{-1}$ KI و با استفاده از بافر گلایسین / HCl (pH=۳/۰) و حلal DMF ۵۷
- شكل (۳-۱۶): منحنی تغییرات جذب در غلظت‌های مختلف PCV. نمودار شاهد (◆)، نمونه (■) و اختلاف آنها (▲). شرایط: $1\text{ }\mu\text{g mL}^{-1}$ قلع (IV)، $4/9\times 10^{-4}\text{ mol L}^{-1}$ CTAB، 2 mol L^{-1} KI و بافر گلایسین / HCl (pH=۳/۰) در ۵۸
- شكل (۳-۱۷): منحنی تغییرات جذب در غلظت‌های مختلف CTAB. نمودار شاهد (◆)، نمونه (■) و اختلاف آنها (▲). شرایط: $1\text{ }\mu\text{g mL}^{-1}$ قلع (IV)، $10^{-5}\text{ mol L}^{-1}$ PCV از $7/8\times 10^{-4}\text{ mol L}^{-1}$ KI و بافر گلایسین / HCl (pH=۳/۰) در ۵۹

فهرست شکل‌ها

صفحه

عنوان

- شکل (۱۸-۳): منحنی تغییرات جذب در غلظت‌های مختلف KI. نمودار شاهد (◆)، نمونه (■) و اختلاف آنها (▲). شرایط: $PCV = ۷/۸ \times 10^{-۴} \text{ mol L}^{-1}$ ، $\mu\text{g mL}^{-1} = ۰/۱$ از قلع (IV)، pH=۳/۰ در CTAB و بافر گلایسین/HCl. ۶۰
- شکل (۱۹-۳): منحنی کالیبراسیون برای قلع (IV) پس از پیش تغليظ با روش استخراج نقطه ابری در طول موج ثابت ۵۷۶ nm ۶۲
- شکل (۲۰-۳): منحنی کالیبراسیون برای قلع (IV) در محیط مایسلی بدون انجام پیش تغليظ در طول موج ۶۶۲ nm ۶۵
- شکل (۲۱-۳): منحنی افزایش استاندارد برای نمونه جگر پس از پیش تغليظ با روش استخراج نقطه ابری. شرایط: غلظت $PCV = ۷/۸ \times 10^{-۴} \text{ mol L}^{-1}$ از CTAB و $KI = ۴/۲ \times 10^{-۴} \text{ mol L}^{-1}$ از آسکوربیک اسید و بافر گلایسین/HCl در pH=۳/۰ ۶۹

فهرست جداول

صفحه

عنوان

جدول (۱-۳): مشخصات منحنی کالیبراسیون پس از پیش تغليظ در طول موج ثابت nm ۵۷۶	۴۰
جدول (۲-۳): صحت و دقت روش پیشنهادی برای اندازه‌گیری مولیبدن ۴۲	۴۲
جدول (۳-۳): مشخصات منحنی کالیبراسیون برای اندازه‌گیری Mo(VI) در محیط مایسلی بدون پیش تغليظ در طول موج ثابت nm ۶۲۵	۴۴
جدول (۴-۳): بررسی اثر مزاحمت گونه‌های مختلف روی اندازه‌گیری $\mu\text{g mL}^{-1}$ مولیبدن (VI) ۴۵	۴۵
جدول (۳-۵): اندازه‌گیری مولیبدن در نمونه‌های آب با استفاده از روش استخراج نقطه ابری ۴۶	۴۶
جدول (۳-۶): اندازه‌گیری مولیبدن (VI) در نمونه آلیاژ استاندارد با روش پیشنهاد شده ۴۷	۴۷
جدول (۳-۷): مقایسه برخی روش‌های پیش تغليظ برای اندازه‌گیری مولیبدن (VI) با روش پیشنهادی ۵۱	۵۱
جدول (۳-۸): مشخصات تجزیه‌ای روش پیشنهادی برای اندازه‌گیری مقادیر کم قلع (IV) ۶۳	۶۳
جدول (۳-۹): صحت و دقت روش پیشنهادی برای اندازه‌گیری قلع (IV) ۶۴	۶۴
جدول (۳-۱۰): مشخصات منحنی کالیبراسیون برای اندازه‌گیری قلع (IV) در محیط مایسلی بدون پیش تغليظ در طول موج ثابت nm ۶۶۲	۶۵
جدول (۳-۱۱): بررسی اثر مزاحمت گونه‌های مختلف روی اندازه‌گیری $\mu\text{g mL}^{-1}$ یون قلع (IV) ۶۶	۶۶
جدول (۳-۱۲): اندازه‌گیری قلع (IV) در نمونه آب میوه با روش پیشنهاد شده ۶۷	۶۷
جدول (۳-۱۳): اندازه‌گیری قلع در نمونه‌های آب با استفاده از روش استخراج نقطه ابری ۶۸	۶۸
جدول (۳-۱۴): مقایسه برخی روش‌های پیش تغлиظ برای اندازه‌گیری قلع (IV) با روش پیشنهادی ۷۰	۷۰